

Siehe ähnliche Dateien: <http://www.ps.bam.de/IG88/>
 Information, Bestellung: <http://www.ps.bam.de> Version 2.0, io=2,2

BAM-Registrierung: 20031201-IG88/10D/D88G13NP.PS/.PDF BAM-Material: Code=th41ta
 Ganze Seite: Anwendung für Monitore

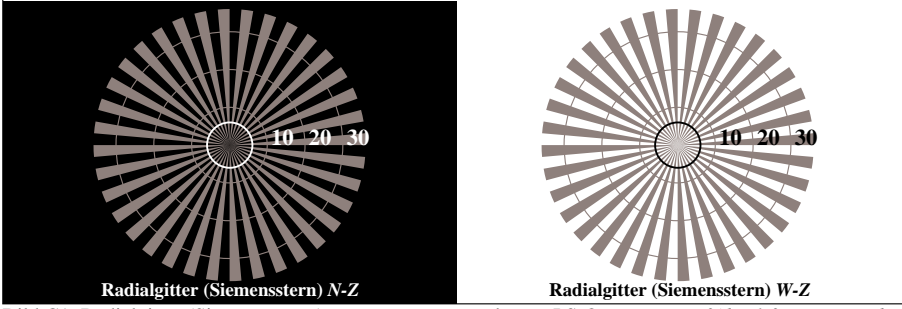
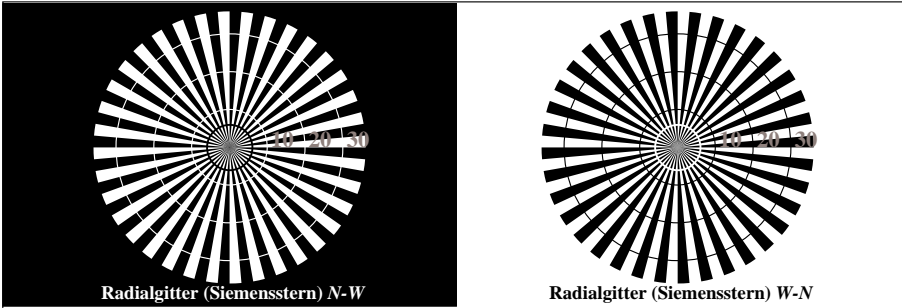


Bild C1: Radialgitter (Siemenssterne) N-W, W-N, N-Z und W-Z; PS-Operator: `nnn0*lin 1.0 exp setcmykcolor`

$L^*/Y-7,56$ 33.1/0.0 48.6/9.7 64.2/25.5 79.8/48.8 95.4/81.0 $N_0(min.)$ $W_I(max.)$
 (absolut)
 $Y=Yt+7,56$

$L^*_{CIE LAB, t}$ 0.0 0.406 0.625 0.817 1.0 $N_0(min.)$ $W_I(max.)$
 $L^*_{CIE LAB, t+r}$ 0.0 0.25 0.5 0.75 1.0

Bild C2: 5 visuell gleichabständige L^* -Graustufen + N_0 + W_I ; PS-Operator: `nnn0*lin 1.0 exp setcmykcolor`

$L^*/Y-7,56$ 33.1/0.0 37.2/2.1 41.4/4.5 45.5/7.4 49.7/10.6 53.8/14.3 58.0/18.4 62.2/23.0 66.3/28.2 70.5/33.9 74.6/40.1 78.8/47.0 82.9/54.5 87.1/62.6 91.3/71.5 95.4/81.0
 (absolut)
 $Y=Yt+7,56$

Nr. und Hex-Code 00;F 01;E 02;D 03;C 04;B 05;A 06;9 07;8 08;7 09;6 10;5 11;4 12;3 13;2 14;1 15;0

$L^*_{CIE LAB, t}$ 0.0 0.173 0.275 0.354 0.422 0.484 0.542 0.598 0.652 0.704 0.755 0.805 0.855 0.903 0.952 1.0
 $L^*_{CIE LAB, t+r}$ 0.0 0.067 0.133 0.2 0.267 0.333 0.4 0.467 0.533 0.6 0.667 0.733 0.8 0.867 0.933 1.0

Bild C3: 16 visuell gleichabständige L^* -Graustufen; PS-Operator: `nnn0*lin 1.0 exp setcmykcolor`

| | | | | |
|----------------------|---|---|--------------------|-----|
| Umfeldstufe Hex-Code | 0 | 1 | Ringstufe Hex-Code | 0-1 |
| | 7 | E | 8 | 7-8 |
| | 2 | 8 | F | E-F |
| | 8 | F | 0 | 2-0 |
| | | | 6 | 8-6 |
| | | | D | F-D |

Landoltringe W-N Code: Umfeld-Ring

Bild C4: Landoltringe W-N; PS-Operator: `nnn0*lin 1.0 exp setcmykcolor`

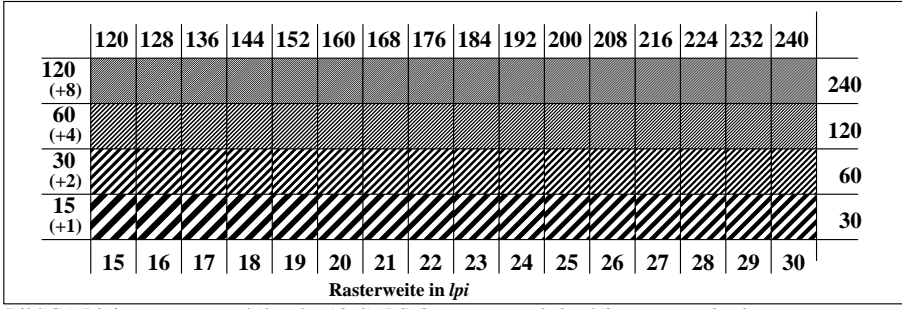


Bild C5: Linienraster unter 45° (oder 135°); PS-Operator: `nnn0*lin 1.0 exp setcmykcolor`

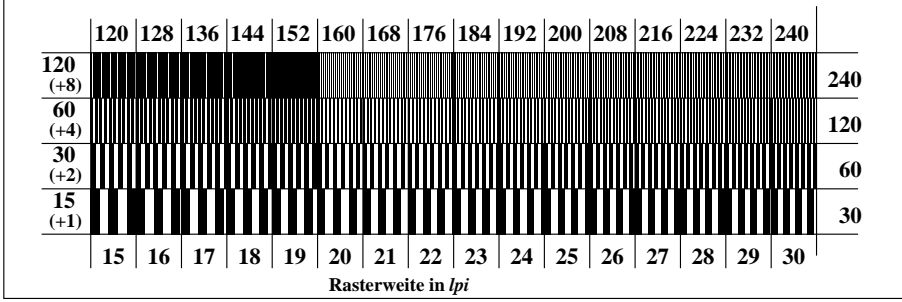


Bild C6: Linienraster unter 90° (oder 0°); PS-Operator: `nnn0*lin 1.0 exp setcmykcolor`